

02.1;09.2

## Фазовый переключатель для электромагнитно индуцированных решеток в среде с $\Lambda$ -атомами

© М.Ю. Гордеев, Ю.В. Рождественский

<sup>1</sup> Санкт-Петербургский национальный исследовательский университет информационных технологий, механики и оптики (Университет ИТМО), Санкт-Петербург, Россия  
E-mail: mxmgordeev@gmail.com

Поступило в Редакцию 19 марта 2019 г.

В окончательной редакции 19 марта 2019 г.

Принято к публикации 21 марта 2019 г.

Теоретически исследована возможность использования фазового эффекта выключения когерентного плетения населенностей для создания переключателя направления распространения света в электромагнитно индуцированных решетках в среде с  $\Lambda$ -атомами. Определена допустимая область применения эффекта, получены и исследованы параметры, позволяющие получить высокоэффективную схему пространственного перераспределения интенсивности пробного поля на решетках атомной плотности.

**Ключевые слова:** электромагнитно индуцированные решетки, оптические устройства, оптический переключатель, оптический маршрутизатор.

DOI: 10.21883/PJTF.2019.12.47910.17793

В последнее время большое внимание уделяется такому квантовому оптическому эффекту, как электромагнитно индуцированные решетки (ЭМИР). Пионерские исследования были посвящены трехуровневой  $\Lambda$ -схеме [1,2]. В результате дальнейших исследований по этой тематике были получены различные показатели эффективности перераспределения интенсивности в максимумы первого порядка, предложены различные способы увеличения эффективности [3,4]. Одним из основных способов практического применения эффекта является создание быстродействующего компактного оптического маршрутизатора [5,6]. Помимо высокой эффективности и компактности одной из важнейших его функций является возможность быстрого перенаправления света без остановки работы системы.

В настоящей работе предложен новый способ переключения направления света в ЭМИР с использованием фазового эффекта в замкнутой  $\Lambda$ -системе. Особенностью исследованной схемы является простота реализации и эксплуатации, а также высокая эффективность перераспределения интенсивности пробного поля в максимумы первого порядка.

Энергетическая схема атомных уровней в замкнутой  $\Lambda$ -конфигурации представлена на рис. 1, *a*, схема моделируемого эксперимента приведена на рис. 1, *b*. На переходе  $|2\rangle \rightarrow -|3\rangle$  атомной системы вдоль направления  $Oz$  действует поле пробной бегущей волны с частотой Раби  $\Omega_2$  и отстройкой  $\Delta_2$  от резонансного значения. Радиочастотное поле с частотой Раби  $\Omega_r$  действует вдоль направления оси  $Ox$  на переходе  $|1\rangle \rightarrow -|2\rangle$  резонансно. Поля, действующие на переходе  $|1\rangle \rightarrow -|3\rangle$ , направлены вдоль оси  $Ox$  и имеют круговую поляризацию в противоположных направлениях. На переходе  $|1\rangle \rightarrow -|3\rangle$  действует поле сильной стоячей волны с пространственно-

зависимой частотой Раби  $\Omega_1(x)$  и отстройкой  $\Delta_1$  от резонансного значения. Оптические релаксации по каналам  $|3\rangle \rightarrow -|n\rangle$  ( $n = 1, 2$ ) определяются константами  $\gamma_1$  и  $\gamma_2$  соответственно. Естественная ширина уровня  $|3\rangle$  равна  $2\gamma = \gamma_1 + \gamma_2$ . Полуширины оптических переходов обозначены как  $\Gamma_{13}$  и  $\Gamma_{23}$ . Помимо этого возможен распад когерентностей между нижними состояниями атома (релаксации низкочастотных когерентностей) со скоростью  $\Gamma_{12}$ .

Запишем поле, модулирующее атомы в среде, в виде

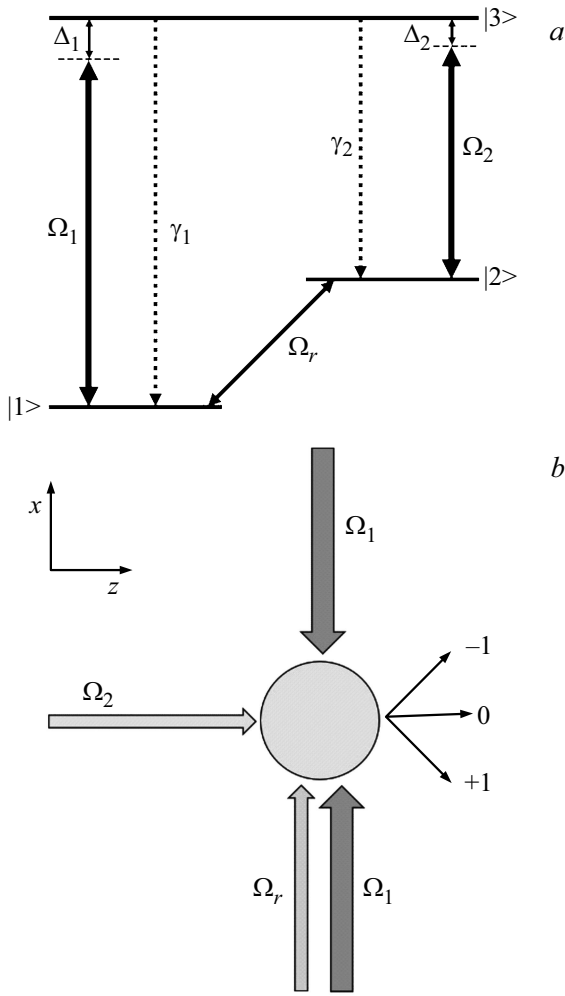
$$\begin{aligned} \mathbf{E}_1 = & \mathbf{e}_1^1 E_1 \cos(\omega_1 t - k_1 x + \phi_1) \\ & + \mathbf{e}_1^2 E_1 \cos(\omega_1 t + k_1 x + \phi_1), \end{aligned} \quad (1a)$$

в то время как поле пробной волны и радиочастотное поле имеют вид

$$\begin{aligned} \mathbf{E}_2 = & \mathbf{e}_2 E_2 \cos(\omega_2 t - k_2 z + \phi_2), \\ \mathbf{E}_r = & \mathbf{e}_r E_r \cos(\omega_r t - k_r x + \phi_r). \end{aligned} \quad (1b)$$

Здесь волны с  $\omega_1, k_1$  и  $\omega_r, k_r$  распространяются вдоль оси  $Ox$ , а пробная волна с  $\omega_2, k_2$  распространяется в положительном направлении оси  $Oz$ ;  $\phi_1, \phi_2, \phi_r$  — фазы соответствующих волн. Следует отметить важность векторов  $k_1, k_2, k_r$  в формулах (1), так как дальнейшее рассмотрение задачи пространственной дифракции не представляется возможным без них.

Воспользуемся для исследования системой самосогласованных уравнений, которая состоит из уравнений Лиувилля для элементов матрицы плотности в приближении вращающейся волны и дипольном приближении для описания состояния среды и укороченного волнового уравнения в приближении медленно меняющихся амплитуд для описания распространения пробного поля в среде.



**Рис. 1.** Энергетическая схема атомных уровней в замкнутой  $\Lambda$ -конфигурации (а) и принципиальная схема эксперимента (б).

Уравнение Лиувилля, описывающее динамику состояний атомов, имеет вид

$$i\hbar\dot{\rho}_{ij} = [H, \tilde{\rho}]_{ij} + i\Gamma_{ij}\tilde{\rho}_{ij} \quad (2)$$

с гамильтонианом взаимодействия в виде  $H = H_0 + V$ , где  $H_0$  задает внутреннее состояние системы без возмущения, а  $V = -(\mathbf{d}_{13} \cdot \mathbf{e}_1)E_1/\hbar - (\mathbf{d}_{23} \cdot \mathbf{e}_2)E_2/\hbar - (\mathbf{d}_{12} \cdot \mathbf{e}_r)E_r/\hbar$  определяет взаимодействие атомов с полем оптического излучения и радиочастотным полем для переходов  $|n\rangle \rightarrow |3\rangle$  ( $n = 1, 2$ ) и  $|1\rangle \rightarrow |2\rangle$  с матричным элементом оператора дипольного взаимодействия.

В выражении (2) матрица  $\Gamma_{ij}$  задает скорости релаксации элементов  $\tilde{\rho}_{ij}(x, t)$ . При этом скорость релаксации диагональных матричных элементов (т.е. населенностей) определяется естественной шириной  $2\gamma$  верхнего возбужденного состояния системы (рис. 1, а):  $2\gamma = \gamma_1 + \gamma_2$ , а скорости релаксации недиагональных матричных элементов  $\Gamma_{ij}$  ( $i \neq j$ ) могут наряду со скоростью естественного распада учитывать и другие воз-

можные механизмы уширения (столкновения, конечную ширину спектра возбуждающих полей и пр.).

С учетом обозначенных выше приближений уравнение Лиувилля (2) сводится к системе уравнений для элементов матрицы плотности  $\rho_{ij}(x, y, t)$  трехуровневого атома следующего вида:

$$\begin{aligned} i\dot{\rho}_{11} &= \Omega_r(\rho_{12} - \rho_{21}) + \Omega_1(\rho_{13} - \rho_{31}) + i\gamma\rho_{33}, \\ i\dot{\rho}_{22} &= \Omega_r(\rho_{21} - \rho_{12}) + \Omega_2(\rho_{23} - \rho_{32}) + i\gamma\rho_{33}, \\ i\dot{\rho}_{33} &= \Omega_1(\rho_{31} - \rho_{13}) + \Omega_2(\rho_{32} - \rho_{23}) - 2i\gamma\rho_{33}, \\ i\dot{\rho}_{12} &= -(\Delta_1 - \Delta_2)\rho_{12} + \Omega_r(\rho_{11} - \rho_{22}) \\ &\quad - \Omega_1\rho_{32}e^{i\Phi} + \Omega_2\rho_{13}e^{i\Phi} - i\Gamma_{12}\rho_{12}, \\ i\dot{\rho}_{13} &= -\Delta_1\rho_{13} + \Omega_1(\rho_{11} - \rho_{33}) \\ &\quad - \Omega_r\rho_{23}e^{-i\Phi} + \Omega_2\rho_{12}e^{-i\Phi} - i\Gamma_{13}\rho_{13}, \\ i\dot{\rho}_{23} &= -\Delta_2\rho_{23} + \Omega_2(\rho_{22} - \rho_{33}) \\ &\quad - \Omega_r\rho_{13}e^{i\Phi} + \Omega_1\rho_{21}e^{i\Phi} - i\Gamma_{23}\rho_{23}, \end{aligned} \quad (3)$$

где  $\rho_{ij} = \rho_{ji}^*$ , частоты Раби  $\Omega_n = (\mathbf{d}_{n3} \cdot \mathbf{e}_n)E_n/\hbar$ ,  $\Omega_r = (\mathbf{d}_{12} \cdot \mathbf{e}_r)E_r/2\hbar$ ,  $\Phi = \phi_r + \phi_2 - \phi_1$  — суммарная фаза контура. Считаем, что система замкнута:  $\rho_{11} + \rho_{22} + \rho_{33} = 1$ , будем также считать, что распад низкочастотных когерентностей в системе нет (по сравнению с другими распадами системы  $\Gamma_{12} = 0$ ).

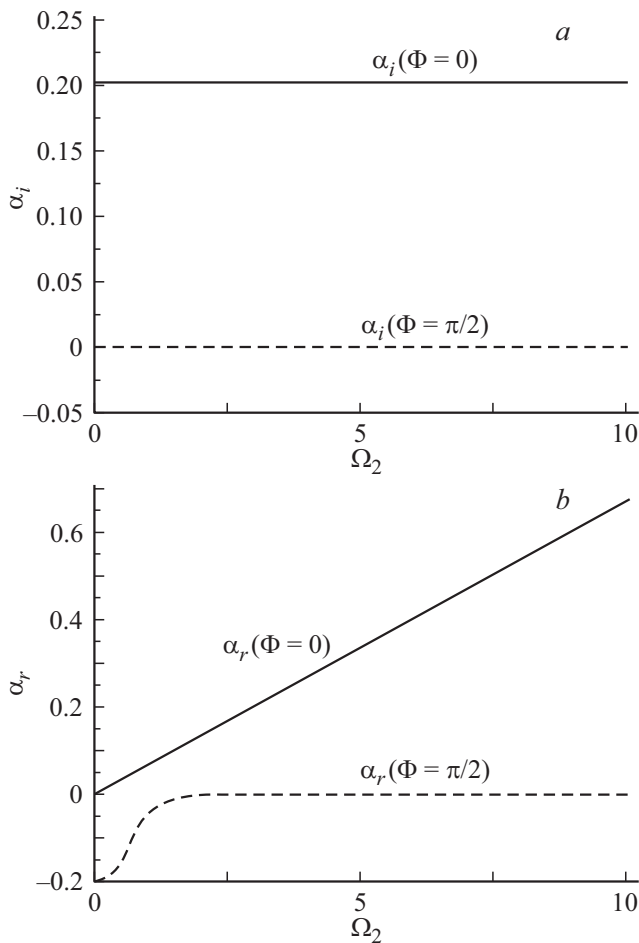
При выводе системы уравнений (3) мы пренебрегли членами, содержащими временные осцилляции на удвоенной оптической частоте (резонансное приближение), и использовали так называемое приближение быстро осциллирующими членами уравнения по сравнению с медленно осциллирующими.

Воспользуемся волновым уравнением Максвелла для описания распространения пробного поля в среде, которое в приближении медленно меняющихся амплитуд и в стационарном режиме сводится к следующему виду:

$$-\frac{i}{2k_2} \frac{\partial^2 E_{02}}{\partial x^2} + \frac{\partial E_{02}}{\partial z} = i \frac{4\pi k_2}{2\epsilon_0} P_{02}, \quad (4)$$

где  $E_{02}$  — медленно меняющаяся амплитуда пробного поля,  $\epsilon_0$  — диэлектрическая проницаемость вакуума. Используя усреднение дипольного момента на ансамбле однородно уширенной среды, получаем выражение для поляризации среды в виде  $P_{02} = 2Nd_{23}\rho_{23}$ , где  $N$  — атомарная плотность,  $d_{23}$  — проекция дипольного момента перехода  $|2\rangle \rightarrow |3\rangle$  на единичный вектор поляризации среды,  $\rho_{23}$  — элемент матрицы плотности, когерентность перехода  $|2\rangle \rightarrow |3\rangle$ .

Для получения аналитических выражений вещественной и мнимой частей элемента  $\rho_{23}$  воспользуемся стационарным решением уравнений (3), которое может быть получено в пренебрежении временными производными в левых частях по сравнению с членами в правых частях, содержащих скорости распада. Отметим, что в



**Рис. 2.** Коэффициенты преломления  $\alpha_i$  (a) и поглощения  $\alpha_r$  (b) в зависимости от частоты Раби пробного поля  $\Omega_2$ . Остальные параметры системы следующие:  $\Omega_1 = 3\gamma$ ,  $\Omega_r = 1\gamma$ ,  $\Delta_1 = \Delta_2 = 0$ .

полученных выражениях учтены члены всех порядков для модулирующих  $\Omega_1(x)$  и радиочастотного  $\Omega_r$  полей, но только линейные члены для поля пробной волны  $\Omega_2$ .

Подставим это решение в уравнение (4) и заменим поляризацию в уравнении на получившееся после подстановки выражение. Для того чтобы получить окончательное выражение в безразмерной форме, выразим все распады, отстройки и частоты через  $\gamma_1$ , а координаты — через  $\Lambda_x$  для оси  $Ox$  и  $z_0$  для оси  $Oz$ , где  $\Lambda_x = \pi/k_x$  — пространственный период наведенной электромагнитно индуцированной решетки,  $k_x$  — волновой вектор сильных стоячих волн, а  $z_0$  имеет вид  $z_0 = 2\hbar\gamma_1\varepsilon_0/Nk_2d_{23}^2$ . Тогда уравнение для поля приобретает вид

$$-i\frac{\partial^2\Omega_2}{N_F\partial x^2} + \frac{\partial\Omega_2}{\partial z} = (\alpha_r + i\alpha_i)\Omega_2, \quad (5)$$

где  $\alpha_r$  и  $\alpha_i$  — коэффициенты поглощения и преломления пробного поля, а  $N_F$  — число щелей ширины  $2\sqrt{\pi}\Lambda_x$ , ущемляющихся на расстоянии  $z_0$ :  $N_F = (2\sqrt{\pi}\Lambda_x)^2/\lambda_2z_0$ .

Решая получившееся уравнение для поля, находим поле на выходе из среды. Отношение поля на выходе

$\Omega_{2out}$  и поля на входе  $\Omega_{2in}$  дает вид функции трансляции среды толщиной  $L$  (по оси  $Oz$ ) по отношению к полю

$$T(x) = \exp[\alpha_r(x)L] \exp[i\alpha_i(x)L],$$

где  $T(x) = \Omega_{2out}/\Omega_{2in}$ ,  $L$  — толщина среды вдоль оси  $Oz$ .

Рассматривая вклад только дальнего поля (дифракция Фраунгофера) и считая, что волна пробного поля плоская и имеет одинаковую амплитуду поперек пучка ширины  $M\Lambda_x$ , определим интенсивность  $I_{out}(\theta)$  как

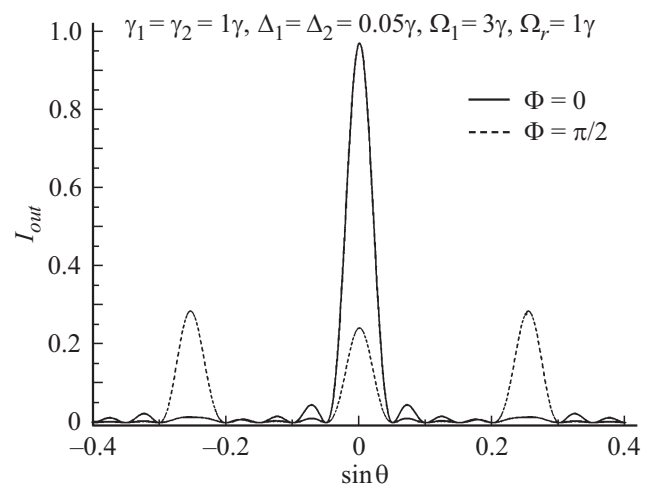
$$I_{out}(\theta) = |\Omega_2^1(\theta)|^2 \frac{\sin^2(M\pi\Lambda_x \sin\theta/\lambda_2)}{M^2 \sin^2(\pi\Lambda_x \sin\theta/\lambda_2)},$$

$$\Omega_2^1(\theta) = \int_0^1 T(x) \exp[-i2\pi\Lambda_x x \sin\theta/\lambda_2] dx. \quad (6)$$

Согласно [7], в случае резонансных отстроек в системе возникает эффект когерентного пленения населенностей (КПН), в результате чего вся населенность в системе оказывается сосредоточенной в суперпозиционном состоянии  $|1\rangle + |2\rangle$ . В этом случае не возникает перераспределения интенсивности пробного поля.

Как видно, коэффициент преломления  $\alpha_i$  не содержит линейной части по пробному полю (рис. 2, a, кривая  $\Phi = 0$ ), ввиду чего не возникает ЭМИР и, как следствие, пробное поле не перенаправляется в максимумы первого порядка. Даже при выключении КПН путем изменения фазы создать ЭМИР при таких условиях в этой системе не представляется возможным, так как коэффициент преломления равен нулю (рис. 2, a, кривая  $\Phi = \pi/2$ ).

Но при небольшом изменении отстроек модулирующих полей от резонанса мы переходим в область наличия в системе линейной части коэффициента преломления, и соответственно становится возможным создание ЭМИР. Как следует из данных работы [7], в случае



**Рис. 3.** Зависимость нормированной интенсивности  $I_{out}$  на выходе из среды от  $\sin\theta$ . Остальные параметры системы следующие:  $\gamma_1 = \gamma_2 = 1\gamma$ ,  $\Omega_1 = 3\gamma$ ,  $\Omega_r = 1\gamma$ ,  $\Delta_1 = \Delta_2 = 0.05\gamma$ ,  $L = 7$ ,  $\Lambda_x/\lambda_2 = 0.25$ ,  $N = 5$ .

равенства суммарной фазы  $\Phi = 0$  в системе возникает эффект КПН, а следовательно, пропадают поглощение и преломление пробного поля, действующего на переходе  $|2\rangle - |3\rangle$ , ввиду создания суперпозиционного состояния населенностей нижних уровней  $|1\rangle + |2\rangle$ : взаимодействия между уровнями  $|2\rangle - |3\rangle$  просто нет. Таким образом, не формируется ЭМИР и на выходе из среды не возникает перераспределения интенсивности пробного поля в максимумы первого порядка (рис. 3, кривая  $\Phi = 0$ ).

В случае равенства суммарной фазы  $\Phi = \pi/2$  КПН разрушается [7]. В момент разрушения КПН возникает взаимодействие между уровнями  $|2\rangle - |3\rangle$  и появляется преломление пробного поля  $\Omega_2$ . В результате становится возможным создание ЭМИР. На выходе из среды при этом наблюдается перераспределение интенсивности пробного поля в максимумы первого порядка (рис. 3, кривая  $\Phi = \pi/2$ ). Проанализировав и подобрав выражения для коэффициентов преломления и поглощения, можно подобрать также параметры для эффективного перераспределения.

В заключение отметим, что предложенная схема помимо новизны обладает внушительным рядом преимуществ: 1) простота реализации и эксплуатации; 2) высокая скорость переключения направления распространения света пробной волны без остановки работы системы; 3) высокая эффективность перераспределения интенсивности поля пробной волны; 4) компактность (подобная ячейка может иметь размер порядка 1 см).

Все перечисленные выше свойства могут вызвать существенный интерес для реализации высокоэффективного быстродействующего переключателя света на основе фазового управления КПН в среде из трехуровневых  $\Lambda$ -атомов.

### Финансирование работы

Работа поддержана Министерством образования и науки РФ (проект 3.821.2014/К), грантом 074-U01 для лидирующих университетов РФ и грантом Российского фонда фундаментальных исследований 17-02-00598 А.

### Конфликт интересов

Авторы заявляют, что у них нет конфликта интересов.

### Список литературы

- [1] *Ling H.Y., Li Y., Xiao M.* // Phys. Rev. A. 1998. V. 57. N 2. P. 1338–1344.
- [2] *Mitsunaga M., Imoto N.* // Phys. Rev. A. 1999. V. 59. N 6. P. 4773–4776.
- [3] *Carvalho S.A., de Araujo L.E.E.* // Phys. Rev. A. 2011. V. 83. N 5. P. 053825.
- [4] *Xie B., Cai X., Xiao Z.-H.* // Opt. Commun. 2012. V. 285. N 2. P. 133–135.
- [5] *Brown A.W., Xiao M.* // Opt. Lett. 2005. V. 30. N 7. P. 699–701.

- [6] *Zhao L., Duan W., Yelin S.F.* // Phys. Rev. A. 2010. V. 82. N 1. P. 013809.
- [7] *Kosachiov D.V., Matisov B.G., Rozhdestvensky Yu.V.* // J. Phys. B. 1992. V. 25. N 11. P. 2473–2488.